



64-424 Intelligente Roboter

[http://tams.informatik.uni-hamburg.de/
lectures/2011ws/vorlesung/ir](http://tams.informatik.uni-hamburg.de/lectures/2011ws/vorlesung/ir)

Jianwei Zhang



Universität Hamburg
Fakultät für Mathematik, Informatik und Naturwissenschaften
Fachbereich Informatik

Technische Aspekte Multimodaler Systeme

Wintersemester 2011/2012



Gliederung

1. Grundlagen der Sensorik
2. Winkel und Bewegungen
3. Kräfte und Druck
4. Abstandssensoren
5. Scandaten verarbeiten
6. Rekursive Zustandsschätzung
7. **Sichtsysteme**
 - Transformationen
 - Homogene Transformationen
 - Kamera-Kalibrierung
 - Anwendungen
 - Omnidirektionale Sichtsysteme
 - Symmetrie



Gliederung (cont.)

Literatur

- 8. Fuzzy-Logik
- 9. Steuerungsarchitekturen

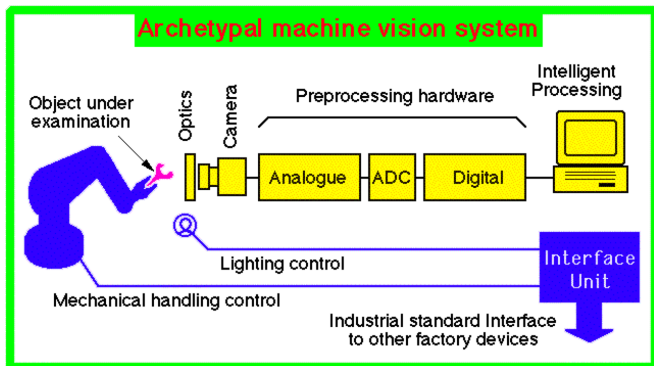




Sichtsysteme in der Robotik

- ▶ Linearkamera (z.B. Barcode-Scanner)
- ▶ analoge CCD-Kamera (schwarz/weiß)
- ▶ analoge CCD-Farbkamera (1 Chip oder 3 Chips)
- ▶ High-Dynamic-Range CMOS-Kamera
- ▶ Digitalkameras (USB oder Firewire)
- ▶ Kamera + strukturiertes Licht
(Laser, Farbstreifen oder -muster)
- ▶ Stereosysteme
- ▶ *catadioptrische* Systeme (z.B. omnidirektionale Sichtsysteme)
 - ▶ *dioptrics* → Linsen
 - ▶ *catoptrics* → Spiegel

Sichtsysteme und Manipulation





Sichtsysteme in industriellen Roboteranwendungen

- ▶ Greifen von Objekten
 - ▶ separat oder geordnet liegende Werkstücke
 - ▶ wahllos durcheinander liegende Werkstücke („Bin-Picking“, „Griff in die Kiste“)
- ▶ Handhabung von Objekten
 - ▶ Veredeln, Abdichten, Entgraten, Schneiden, Binden, Verpacken, ...
 - ▶ Inspektion während der Fertigung
- ▶ Montage
 - ▶ Punkt- und Bogenschweißen
 - ▶ Schrauben, Stecken
 - ▶ Befestigen, Kleben
 - ▶ ...



Sichtsysteme in der kognitiven Robotik

Erkennen von

▶ Objekten

- ▶ statisch: Typisieren, Suchen, Indizieren, ...
- ▶ dynamisch: Bewegungen, Detektion von Fehloperationen, ...

▶ Menschen

- ▶ Gesicht
- ▶ Blickrichtung
- ▶ Gestik
- ▶ Operationsvorgang (einzelne Operationen, Reihenfolge, ...)



Sichtsysteme in der kognitiven Robotik (cont.)

Weltmodellierung:

- ▶ Ortung von Objekten
- ▶ 3D-Rekonstruktion
- ▶ Belegung der Umwelt
- ▶ Lage/Orientierung des Roboters
 - ▶ relativ
 - ▶ absolut
 - ▶ ...bezogen auf verschiedene Koordinatensysteme

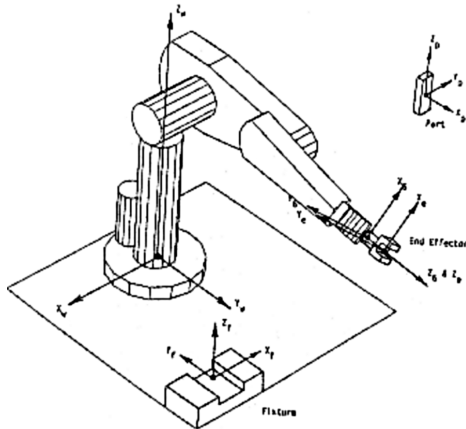


Sichtsysteme in der kognitiven Robotik (cont.)

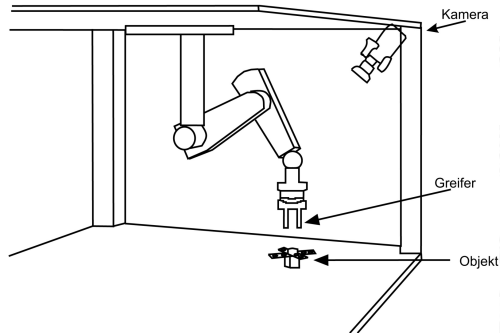
Vom Sichtsystem geführte Bewegungen:

- ▶ Visual-Servoing
 - ▶ Grob- und Feinpositionierung
 - ▶ Verfolgung von beweglichen Objekten
 - ▶ Schwingen, Jonglieren, Balancieren, ...
- ▶ Kollisionsvermeidung
 - ▶ basierend auf dem Prinzip des optischen Flusses
 - ▶ 3D-Abstandsmessungen
- ▶ Koordination mit anderen Robotern und/oder Menschen
 - ▶ Intentionserkennung
 - ▶ Bewegungsschätzung

Koordinatensysteme eines Manipulationssystems



Roboter - Tisch - Kamera





Transformationen (cont.)

Punkte eines Koordinatensystems lassen sich über Transformationen in ein anderes Koordinatensystem überführen:

Z: Transformation von Welt- in Manipulatorbasiskoordinaten

T_6 : komplette kinematische Transformation von der Manipulatorbasis bis zum Manipulatorende für einen Roboterarm mit sechs Freiheitsgraden

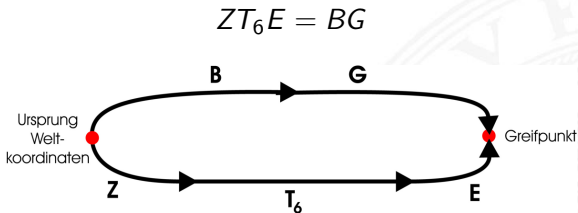
E: Transformation vom Manipulatorende zum Greifer

B: Transformation von Welt- zu Objektkoordinaten

G: Beschreibung der Greifposition/-orientierung in Objektkoordinaten

Transformationen (cont.)

Greift der Roboter ein Objekt, lässt sich die Weltkoordinate des Greifpunktes auf zwei Arten bestimmen und es ergibt sich:





Transformationen (cont.)

Soll der Manipulator zur Greifposition bewegt werden, muss folgende Gleichung gelöst werden:

$$T_6 = Z^{-1}BGE^{-1}$$

Um die Position des Objektes nach vollendeter Greifoperation zu bestimmen, berechnet man:

$$B = ZT_6EG^{-1}$$



Transformationen (cont.)

Eine Kamera im System liefert zwei weitere Transformationen:

- C:** Transformation von Kamera- in Weltkoordinaten
(Bestimmung der Transformation *off-line* durch Kalibrierung der Kamera)
- I:** Transformation vom Koordinatensystem im Greifpunkt zum Kamerakoordinatensystem
(Greifpunkt wird mit Methoden der Bildverarbeitung bestimmt)



Transformationen (cont.)

Die Transformation P vom Greifpunkt zum Weltkoordinatensystem ist dann:

$$P = I C$$

Die Kamera-Welt-Kalibrierung kann aus folgender Gleichung abgeleitet werden:

$$C = I^{-1} P$$



Homogene Koordinaten

- ▶ *Homogene Koordinaten* sind bekannt aus der Computergrafik um Probleme in der Matrixberechnung zu umgehen
- ▶ Ein n -dimensionaler Raum wird mit $n + 1$ Dimensionen dargestellt
- ▶ Aus (x, y, z) wird (hx, hy, hz, h) , wobei h eine beliebige Zahl ist
- ▶ In der Robotik ist $h = 1$, was einer direkten Projektion zwischen n - und $(n + 1)$ -dimensionalem Raum entspricht
- ▶ h ist eine Art Skalierung



Homogene Transformationen

- ▶ Eine 3×3 -Matrix kann eine Rotation, Skalierung oder Scherung beschreiben aber keine Verschiebung (Translation)
- ▶ Dies kann umgangen werden, indem eine weitere Spalte zur Matrix hinzugefügt wird
- ▶ **Aber:** Die Matrix ist dann nicht mehr invertierbar
- ▶ Man definiert daher eine 4×4 -Matrix um sowohl Rotation, Translation, Scherung, Projektion, lokale und komplette Skalierung zu beschreiben

Homogene Transformationen (cont.)

$$T = \left[\begin{array}{c|c} \begin{array}{l} \textit{Rotation} \\ \textit{Scherung} \\ \textit{lokale Skalierung} \end{array} & \begin{array}{l} \textit{Translation} \\ \\ \\ \end{array} \\ \hline \begin{array}{l} \textit{Projektion} \end{array} & \begin{array}{l} \textit{Skalierung} \end{array} \end{array} \right]$$

$$= \left[\begin{array}{c|c} \begin{array}{l} 3 \\ \times \\ 3 \end{array} & \begin{array}{l} 3 \\ \times \\ 1 \end{array} \\ \hline \begin{array}{l} 1 \times 3 \end{array} & \begin{array}{l} 1 \times 1 \end{array} \end{array} \right]$$



Homogene Transformationen (cont.)

In der Robotik ist man nur an Rotation und Translation interessiert
Daher ergibt sich:

$$T = \left[\begin{array}{ccc|c} \textit{Rotation} & & & \textit{Translation} \\ \hline & & & \\ & & & \\ & & & \\ \hline 0 & 0 & 0 & 1 \end{array} \right]$$



Translation

$$\text{Trans}(p_x, p_y, p_z) = \begin{bmatrix} 1 & 0 & 0 & p_x \\ 0 & 1 & 0 & p_y \\ 0 & 0 & 1 & p_z \\ 0 & 0 & 0 & 1 \end{bmatrix}$$



Rotation um x -Achse

$$Rot_x(\theta) = \begin{bmatrix} 1 & 0 & 0 & 0 \\ 0 & \cos(\theta) & -\sin(\theta) & 0 \\ 0 & \sin(\theta) & \cos(\theta) & 0 \\ 0 & 0 & 0 & 1 \end{bmatrix}$$



Rotation um y -Achse

$$Rot_y(\theta) = \begin{bmatrix} \cos(\theta) & 0 & \sin(\theta) & 0 \\ 0 & 1 & 0 & 0 \\ -\sin(\theta) & 0 & \cos(\theta) & 0 \\ 0 & 0 & 0 & 1 \end{bmatrix}$$



Rotation um z-Achse

$$Rot_z(\theta) = \begin{bmatrix} \cos(\theta) & -\sin(\theta) & 0 & 0 \\ \sin(\theta) & \cos(\theta) & 0 & 0 \\ 0 & 0 & 1 & 0 \\ 0 & 0 & 0 & 1 \end{bmatrix}$$



Kamera-Kalibrierung

Kamera-Kalibrierung im Kontext der drei-dimensionalen maschinellen Bildverarbeitung ist die Bestimmung der **intrinsischen** und/oder **extrinsischen Kamera-Parameter**

Intrinsische Parameter: Interner geometrischer Aufbau und optische Eigenschaften der Kamera

Extrinsische Parameter: Drei-dimensionale Position und Orientierung des Koordinatensystems der Kamera relativ zu einem Weltkoordinatensystem



Kamera-Kalibrierung (cont.)

Welche Information erhält man?

Um 3D-Objekte aus zwei oder mehr Bildern zu generieren, ist es notwendig die Beziehung zwischen dem Koordinatensystem des 2D-Bildes und dem des 3D-Objektes zu kennen

Die Beziehung zwischen 2D und 3D kann durch zwei Transformationen beschrieben werden



Kamera-Kalibrierung (cont.)

1. Perspektivische Projektion eines 3D-Punktes auf einen 2D-Bildpunkt

- ▶ Mit der Schätzung eines 3D-Objektpunktes und der dazugehörigen Fehler-Kovarianzmatrix kann die Projektion auf ein Bild vorhergesagt werden

2. Rückprojektion eines 2D-Punktes auf einen 3D-Strahl

- ▶ Sei ein 2D-Bildpunkt gegeben, dann gibt es einen Strahl im dreidimensionalen Raum auf dem der korrespondierende 3D-Objektpunkt liegt
- ▶ Gibt es zwei oder mehr Ansichten des 3D-Punktes, kann dessen Koordinate mit Hilfe der *Triangulation* bestimmt werden



Kamera-Kalibrierung (cont.)

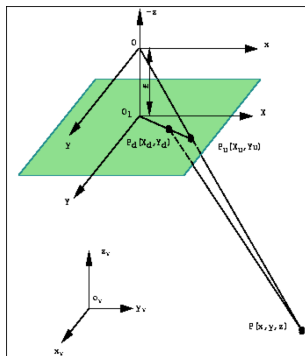
- ▶ Die erste Transformation ist nützlich um den Suchraum beim Merkmalsvergleich oder bei der Hypothesen-Verifikation in der Szenenanalyse zu verringern
- ▶ Die zweite Transformation ist hilfreich um 3D-Information aus Merkmalen in 2D-Bildern abzuleiten
- ▶ Verschiedene Anwendungen für die Transformationen:
 - ▶ Automatische Montage
 - ▶ 3D-Messtechnik
 - ▶ Roboter-Kalibrierung
 - ▶ Tracking
 - ▶ Trajektorien-Analyse
 - ▶ automatische Fahrzeugführung



Kalibrierungsmethoden

- ▶ Die Kamera-Kalibrierung kann *on-line* oder *off-line* erfolgen
- ▶ Kalibrierungsobjekt:
 - ▶ Identifikation der Kamera-Parameter
 - ▶ Direkte Erstellung der Koordinaten-Transformation zwischen Kamera- und Weltkoordinaten
- ▶ Selbst-Kalibrierung
- ▶ Methoden des maschinellen Lernens

Modell einer Kamera ohne Verzeichnung



Lochkameramodell mit und ohne radiale Linseverzerrung



Modell einer Kamera ohne Verzeichnung (cont.)

- ▶ (x_w, y_w, z_w) : 3D-Weltkoordinatensystem mit Ursprung O_w
- ▶ (x, y, z) : 3D-Koordinatensystem der Kamera mit Ursprung O (optisches Zentrum)
- ▶ (X, Y) : 2D-Bildkoordinatensystem mit Ursprung O_1
- ▶ f : Brennweite der Kamera

Transformation von Welt- in Kamerakoordinaten

- ▶ Sei $P(x_w, y_w, z_w)$ ein Punkt im Weltkoordinatensystem
- ▶ Seine Projektion auf die Bildebene kann wie folgt ermittelt werden:

$$\begin{bmatrix} x \\ y \\ z \end{bmatrix} = R \begin{bmatrix} x_w \\ y_w \\ z_w \end{bmatrix} + t$$

$$\text{mit } R = \begin{bmatrix} r_1 & r_2 & r_3 \\ r_4 & r_5 & r_6 \\ r_7 & r_8 & r_9 \end{bmatrix} \quad \text{und} \quad t = \begin{bmatrix} t_x \\ t_y \\ t_z \end{bmatrix}$$

- ▶ Die Parameter R und t sind die *extrinsischen* Parameter



Projektion von Kamera- auf Bildkoordinaten

- ▶ Punkt P wird auf die analoge (ideale) Bildkoordinate (u, v) projiziert
- ▶ *Perspektivische Projektion* mit Brennweite f :

$$u = f \frac{x}{z} \quad v = f \frac{y}{z}$$

- ▶ Die Bildkoordinate (X, Y) errechnet sich aus (u, v) mit:

$$X = s_u u \quad Y = s_v v$$

- ▶ Die Skalierungsfaktoren s_u und s_v rechnen die analogen Koordinaten von Meter in Pixel um
- ▶ s_u , s_v und f sind die *intrinsischen* Kamera-Parameter



Projektion von Welt- auf Bildkoordinaten

- ▶ Da nur zwei unabhängige intrinsische Parameter existieren, definiert man:

$$f_x \equiv fs_u \quad \text{und} \quad f_y \equiv fs_v$$

- ▶ Diese Gleichungen liefern das verzeichnungsfreie Kameramodell:

$$X = f_x \frac{r_1 x_w + r_2 y_w + r_3 z_w + t_x}{r_7 x_w + r_8 y_w + r_9 z_w + t_z}$$

$$Y = f_y \frac{r_4 x_w + r_5 y_w + r_6 z_w + t_y}{r_7 x_w + r_8 y_w + r_9 z_w + t_z}$$



Pixelkoordinaten im Rechner

- ▶ Von den im Rechner gespeicherten Bildkoordinaten (X_f, Y_f) wird die Koordinate (C_x, C_y) des Bildmittelpunktes abgezogen
- ▶ Damit ergibt sich:

$$X = X_f - C_x$$

$$Y = Y_f - C_y$$

- ▶ Die Unsicherheit über den Bildmittelpunkt kann 10-20 Pixel erreichen



Kalibrierung einer Kamera: Grundkonzept

Das Lochkamera-Modell liefert für die Kalibrierung

- ▶ die drei unabhängigen extrinsischen Parameter von R
- ▶ die drei unabhängigen extrinsischen Parameter von t
- ▶ die intrinsischen Parameter f_x , f_y , C_x und C_y



Kalibrierungspunkte

Die Kalibrierung erfolgt mit einer Menge von m Objektpunkten, die

1. bekannte Weltkoordinaten $\{x_{w,i}, y_{w,i}, z_{w,i}\}$, $i = 1, \dots, m$ in hinreichend genauer Präzision haben
2. innerhalb des Sichtfeldes der Kamera liegen

Diese *Kalibrierungspunkte* werden im Kamerabild mit ihren respektiven Kamerakoordinaten $\{X_i, Y_i\}$ detektiert



Kalibrierung

- ▶ Das Problem bei der Kalibrierung einer Kamera ist die Identifikation der unbekanntenen Koeffizienten des Kameramodells
- ▶ Die Bestimmung für das verzeichnungsfreie Kameramodell liefert explizit die Position der Kamera in Weltkoordinaten
- ▶ Die grundlegendste Strategie für eine Kamerakalibration ermittelt die Koeffizienten mit Hilfe der *linear-least-squares*-Identifikation der im folgenden vorgestellten *perspektivischen Transformationsmatrix* (engl. *Perspective Transformation Matrix*)



Verzeichnungsfreies Kameramodell

Das verzeichnungsfreie Kameramodell

$$X = f_x \frac{r_1 x_w + r_2 y_w + r_3 z_w + t_x}{r_7 x_w + r_8 y_w + r_9 z_w + t_z}, \quad Y = f_y \frac{r_4 x_w + r_5 y_w + r_6 z_w + t_y}{r_7 x_w + r_8 y_w + r_9 z_w + t_z}$$

lässt sich umschreiben zu

$$X = \frac{a_{11}x_w + a_{12}y_w + a_{13}z_w + a_{14}}{a_{31}x_w + a_{32}y_w + a_{33}z_w + a_{34}}$$

$$Y = \frac{a_{21}x_w + a_{22}y_w + a_{23}z_w + a_{24}}{a_{31}x_w + a_{32}y_w + a_{33}z_w + a_{34}}$$

Perspektivische Transformationsmatrix

- ▶ Es kann $a_{34} = 1$ gesetzt werden, da eine Skalierung der Koeffizienten a_{11}, \dots, a_{34} die Werte von X und Y nicht ändert
- ▶ Die Koeffizienten a_{11}, \dots, a_{34} korrespondieren mit der so genannten *perspektivischen Transformationsmatrix*
- ▶ Die vorangegangenen beiden Gleichungen können im folgenden Identifikationsmodell zusammengefasst werden:

$$\begin{bmatrix} x_w & y_w & z_w & 1 & 0 & 0 & 0 & 0 & -Xx_w & -Xy_w & -Xz_w \\ 0 & 0 & 0 & 0 & x_w & y_w & z_w & 1 & -Yx_w & -Yy_w & -Yz_w \end{bmatrix} \begin{bmatrix} a_{11} \\ \vdots \\ a_{33} \end{bmatrix} = \begin{bmatrix} X \\ Y \end{bmatrix}$$



Least Squares

- ▶ Die elf unbekanntenen Koeffizienten a_{11}, \dots, a_{33} werden mit Hilfe der Methode der kleinsten Quadrate bestimmt
- ▶ Minimal sind **sechs** Kalibrierungspunkte notwendig
- ▶ Jedes Paar Datenpunkte $\{(x_{w,i}, y_{w,i}, z_{w,i}), (X_i, Y_i)\}$ liefert zwei algebraische Gleichungen mit den gesuchten Koeffizienten
- ▶ Es kann gezeigt werden, dass die Kalibrierungspunkte **nicht koplanar** sein dürfen
- ▶ Ist dies nicht der Fall, ist die erste Matrix im Identifikationsmodell singulär, da die Spalten 3 und 4 sowie 7 und 8 linear abhängig sind



Probleme

- ▶ Die vorgestellte Lösung ist noch nicht global optimal, da bisher keine Linsenverzeichnung berücksichtigt wurde
- ▶ Es ist nicht möglich explizit die Rotationsmatrix R und den Translationsvektor t zu bestimmen
- ▶ Das bedeutet die vorgestellte Kalibrierung ermöglicht **nicht** die Nutzung einer Kamera, die an einem sich bewegenden Roboterarm montiert ist
- ▶ Die Herstellung eines präzisen 3D-Kalibrierungsaufbaus ist aufwendiger als die eines 2D-Kalibrierungsobjekts



Stereo-Vision

- ▶ Die bisher vorgestellte Kalibrierungsmethode ermöglicht allerdings eine schnelle, wenn auch unpräzise Messung von Punkten mit einem Stereo-Kamera-Aufbau
- ▶ Dazu werden zwei Kameras A und B kalibriert und liefern die Kalibrationsvektoren a^A und a^B
- ▶ Dann kann die Koordinate $\{x_w, y_w, z_w\}$ eines jeden Punktes der von beiden Kameras gesehen wird berechnet werden
- ▶ Jeder unbekannte Punkt hat die korrespondierenden Bildkoordinaten $\{X^A, Y^A\}$ und $\{X^B, Y^B\}$



Stereo-Vision (cont.)

Mit der Gleichung

$$\begin{bmatrix} a_{11} - a_{31}X & a_{12} - a_{32}X & a_{13} - a_{33}X \\ a_{21} - a_{31}Y & a_{22} - a_{32}Y & a_{23} - a_{33}Y \end{bmatrix} \begin{bmatrix} x_w \\ y_w \\ z_w \end{bmatrix} = \begin{bmatrix} X - a_{14} \\ Y - a_{24} \end{bmatrix}$$

für jede Kamera entsteht ein überbestimmtes Gleichungssystem, welches die Bestimmung der 3D-Koordinate eines Punktes aus den Bildkoordinaten erlaubt



Kameramodell mit Linsenverzeichnung

- ▶ Reale Kameras und Linsen verursachen eine Vielzahl von Abbildungsfehlern und genügen nicht dem Modell
- ▶ Die Hauptfehlerquellen sind:
 1. Räumliche Auflösung relativ gering, da die Auflösung der Kameras ebenfalls noch gering ist (Aktuelle DV-Kameras: 320x200, 640x480 @30 fps; 800x600, 1024x768 @15 fps; 1280x960 @7.5 fps)
 2. Die meisten (billigen) Linsen sind unsymmetrisch und erzeugen Verzerrungen
 3. Der Zusammenbau der Kamera ist nicht präzise durchführbar (Mittelpunkt des CCD-Chips liegt nicht auf der optischen Achse; Chip liegt nicht parallel zur Linse etc.)
 4. Timing-Fehler zwischen Kamera-Hardware und Grabber-Hardware



Verzeichnung

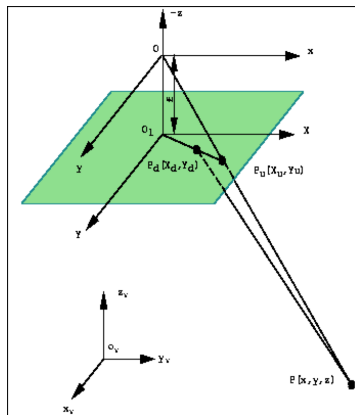
- ▶ Verzeichnung durch das Linsensystem resultiert in einer geänderten Position der Bildpixel auf der Bildebene
- ▶ Das Lochkameramodell wird dem nicht mehr gerecht
- ▶ Es wird ersetzt durch folgendes Modell:

$$u' = u + D_u(u, v)$$

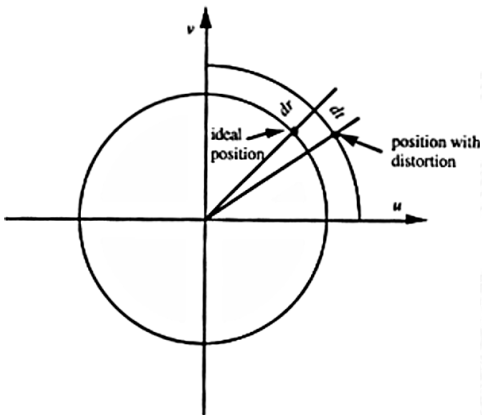
$$v' = v + D_v(u, v)$$

wobei u und v die nicht beobachtbaren, verzeichnungsfreien Bildkoordinaten sind und u' und v' die korrespondierenden verzerrten Koordinaten

Verzeichnung (cont.)



Verzerrung (cont.)

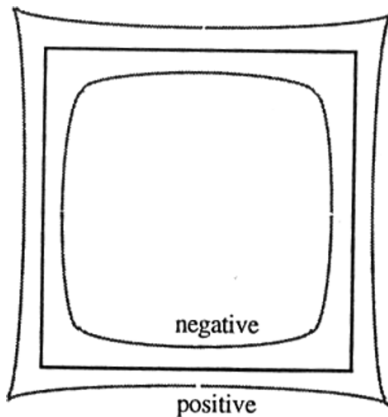




Arten von Verzeichnungen

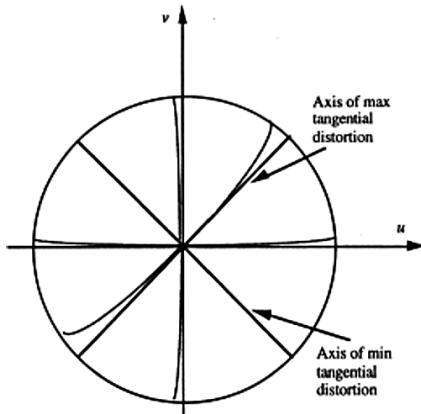
- ▶ Es gibt **zwei** Arten von Verzeichnungen:
 - ▶ *radial*
 - ▶ *tangential*
- ▶ Radiale Verzeichnung verursacht einen Versatz der idealen Position nach innen (Tonne) oder außen (Kissen)
- ▶ Ursache: fehlerhafte radiale Krümmung der Linse

Radiale Verzeichnung



gerade Linien → keine Verzeichnung

Tangentiale Verzeichnung



gerade Linien → keine Verzeichnung



Modellierung der Linsenverzeichnung

- ▶ Nach Weng et. al. (1992) unterscheidet man drei Verzeichnungen, die modelliert werden:
 1. Radiale Linsenverzeichnung (engl. *radial distortion*)
 2. Dezentrierende Verzeichnung (engl. *decentering distortion*)
 3. Verzeichnung des dünnen Prismas (engl. *thin prism distortion*)
- ▶ Die dezentrierende Verzeichnung und die Verzeichnung des dünnen Prismas sind sowohl radial als auch tangential
- ▶ Bei der dezentrierenden Verzeichnung sind die optischen Zentren der Linsen nicht kollinear



Modell: Radiale Verzeichnung

Radiale Verzeichnung

$$D_{ur} = ku(u^2 + v^2) + O[(u, v)^5]$$

$$D_{vr} = kv(u^2 + v^2) + O[(u, v)^5]$$



Modell: Dezentrierende Verzeichnung

Dezentrierende Verzeichnung

$$D_{ud} = p_1(3u^2 + v^2) + 2p_2uv + O[(u, v)^4]$$

$$D_{vd} = 2p_1uv + p_2(u^2 + 3v^2) + O[(u, v)^4]$$



Modell: Verzeichnung des dünnen Prismas

Verzeichnung des dünnen Prismas

$$D_{up} = s_1(u^2 + v^2) + O[(u, v)^4]$$

$$D_{vp} = s_2(u^2 + v^2) + O[(u, v)^4]$$



Gesamtmodell der Linsenverzeichnung

Wir ignorieren die Terme mit Ordnung höher als 4 und fassen die vorangegangenen Modelle zusammen:

$$D_u = ku(u^2 + v^2) + (p_1(3u^2 + v^2) + 2p_2uv) + s_1(u^2 + v^2)$$

$$D_v = kv(u^2 + v^2) + (2p_1uv + p_2(u^2 + 3v^2)) + s_2(u^2 + v^2)$$



Vereinfachtes Modell

Da die radiale Linsenverzeichnung der dominierende Effekt ist, kann folgendes Gleichungssystem als vereinfachtes Kameramodell verwendet werden:

Vereinfachtes Kameramodell mit Verzeichnung

$$u' = u(1 + k' r'^2)$$

$$v' = v(1 + k' r'^2)$$

mit $r'^2 = u^2 + v^2$

Radialer Verzeichnungskoeffizient

Da u und v unbekannt sind, werden diese durch die messbaren Bildkoordinaten X und Y ersetzt und es gilt

$$r'^2 = (X/s_u)^2 + (Y/s_v)^2$$

Definiert man $k \equiv k' s_v^2$, den *radialen Verzeichnungskoeffizienten* (engl. *radial distortion coefficient*), dann folgt

$$\mu \equiv \frac{f_y}{f_x} = \frac{s_v}{s_u}$$

und

$$r^2 \equiv \mu^2 X^2 + Y^2$$



Modell für kleine radiale Verzeichnungen

Mit den oben genannten Modifikationen erhält man folgendes Kameramodell für kleine radiale Verzeichnungen

$$X(1 + kr^2) \cong f_x \frac{r_1 x_w + r_2 y_w + r_3 z_w + t_x}{r_7 x_w + r_8 y_w + r_9 z_w + t_z},$$

$$Y(1 + kr^2) \cong f_y \frac{r_4 x_w + r_5 y_w + r_6 z_w + t_y}{r_7 x_w + r_8 y_w + r_9 z_w + t_z}$$

Variation

Ein für das *least squares* Verfahren nützlicher Trick ist die Verwendung der folgenden Variation des vorigen Modells

$$\frac{X}{1 + kr^2} \cong f_x \frac{r_1 x_w + r_2 y_w + r_3 z_w + t_x}{r_7 x_w + r_8 y_w + r_9 z_w + t_z},$$

$$\frac{Y}{1 + kr^2} \cong f_y \frac{r_4 x_w + r_5 y_w + r_6 z_w + t_y}{r_7 x_w + r_8 y_w + r_9 z_w + t_z}$$

und gilt unter der Annahme, dass $kr^2 \ll 1$ ist



radial alignment constraint

Wenn neben der radialen keine weiteren Verzeichnungen auftreten, erhält man das *radial alignment constraint* (**RAC**)

$$\frac{X}{Y} = \mu^{-1} \frac{r_1 x_w + r_2 y_w + t_x}{r_4 x_w + r_5 y_w + t_y}$$

bzw:

$$X_d : Y_d = x : y$$

mit $X_d = f_x X$ und $Y_d = f_y Y$



Tsai's RAC-basierte Kamerakalibrierung

- ▶ Annahme C_x , C_y und μ sind bekannt
- ▶ Ziel ist die Ermittlung der extrinsischen Parameter R und t sowie der intrinsischen Parameter f_x , f_y und k
- ▶ Für die Kalibrierung wird eine Menge **koplanarer** Kalibrationspunkte verwendet werden
- ▶ Die Kalibrierung beinhaltet zwei Schritte
 1. Ermitteln der Rotationsmatrix R und der Komponenten t_x und t_y des Translationsvektors
 2. Schätzung der übrigen Parameter aufgrund der Ergebnisse des ersten Schrittes



Kamerakalibrierung nach Tsai: Schritt 1

1. Berechnung der Bildkoordinaten (X_i, Y_i)

Sei N die Anzahl der Bildpunkte, dann gilt für $i = 1, 2, \dots, N$

$$X_i = X_{f,i} - C_x$$

$$Y_i = Y_{f,i} - C_y$$

wobei $X_{f,i}$ und $Y_{f,i}$ die Pixelwerte im Rechner sind



Kamerakalibrierung nach Tsai: Schritt 1 (cont.)

2. Bestimmung der Zwischenparameter $\{v_1, v_2, v_3, v_4, v_5\}$

- ▶ Da RAC unabhängig vom k und f ist, können R , t_x und t_y berechnet werden
- ▶ Wir definieren

$$\{v_1, v_2, v_3, v_4, v_5\} \equiv \{r_1 t_y^{-1}, r_2 t_y^{-1}, t_x t_y^{-1}, r_4 t_y^{-1}, r_5 t_y^{-1}\}$$



Kamerakalibrierung nach Tsai: Schritt 1 (cont.)

- ▶ Wenn man für den i -ten Kalibrationspunkt beide Seiten der RAC-Gleichung durch t_y teilt und den entstehenden Ausdruck umarrangiert, erhält man

$$\begin{bmatrix} x_{w,i} Y_i & y_{w,i} Y_i & Y_i & -x_{w,i} \mu X_i & -y_{w,i} \mu X_i \end{bmatrix} \begin{bmatrix} v_1 \\ v_2 \\ v_3 \\ v_4 \\ v_5 \end{bmatrix} = \mu X_i$$

wobei $x_{x,i}$ und $y_{w,i}$ die x und y Koordinaten des i -ten Kalibrationspunktes sind



Kamerakalibrierung nach Tsai: Schritt 1 (cont.)

- ▶ Die minimale Anzahl an notwendigen **nicht kollinearen** Kalibrationspunkten ist $N = 5$
- ▶ In der Praxis sollte $N > 5$ gewählt werden
- ▶ **Bemerkung:** Falls $t_y = 0$ kann obige Gleichung auch in Abhängigkeit von t_x formuliert werden
- ▶ Erhält man $t_x = t_y = 0$, so ist der gewählte Kameraaufbau in geeigneter Form abzuändern



Kamerakalibrierung nach Tsai: Schritt 1 (cont.)

3. Berechnung von R , t_x und t_y

- ▶ Definiere $C \equiv \begin{bmatrix} v_1 & v_2 \\ v_4 & v_5 \end{bmatrix}$
- ▶ Wenn **keine** Zeile oder Spalte zu null wird, gilt:

$$t_y^2 = \frac{S_r - \sqrt{S_r^2 - 4(v_1 v_5 - v_4 v_2)^2}}{2(v_1 v_5 - v_4 v_2)} \quad \text{mit} \quad S_r \equiv v_1^2 + v_2^2 + v_4^2 + v_5^2$$

- ▶ Andernfalls gilt

$$t_y^2 = (v_i^2 + v_j^2)^{-1}$$

wobei v_i und v_j die Elemente aus C sind, die nicht null sind



Kamerakalibrierung nach Tsai: Schritt 1 (cont.)

- ▶ Physikalisch sollten die Vorzeichen von x und X sowie y und Y gleich sein
- ▶ Dies wird genutzt, um das Vorzeichen von t_y zu bestimmen
- ▶ Annahme: $t_y > 0$
- ▶ Berechnung von

$$r_1 = v_1 t_y$$

$$r_2 = v_2 t_y$$

$$r_4 = v_4 t_y$$

$$r_5 = v_5 t_y$$

$$t_x = v_3 t_y$$



Kamerakalibrierung nach Tsai: Schritt 1 (cont.)

- ▶ Mit einem beliebigen Kalibrationspunkt lassen sich die folgenden Koordinaten bestimmen:

$$x = r_1 x_w + r_2 y_w + t_x$$

$$y = r_4 x_w + r_5 y_w + t_y$$

- ▶ Gilt $\text{sign}(x) = \text{sign}(X)$ und $\text{sign}(y) = \text{sign}(Y)$, dann gilt die Annahme $\text{sign}(t_y) = 1$ und wir behalten r_1, r_2, r_4, r_5 und t_x
- ▶ Andernfalls setzen wir $\text{sign}(t_y) = -1$ und drehen die Vorzeichen von r_1, r_2, r_4, r_5 und t_y entsprechend um

Kamerakalibrierung nach Tsai: Schritt 1 (cont.)

- ▶ Es gibt zwei mögliche Lösungen für die Rotationsmatrix R , wenn eine 2×2 -Teilmatrix bekannt ist
- ▶ Diese Lösungen sind f_x mit positivem und mit negativem Vorzeichen
- ▶ R kann wie folgt berechnet werden

$$r_3 = \pm(1 - r_1^2 - r_2^2)^{1/2}$$

$$r_6 = \mp \text{sign}(r_1 r_4 + r_2 r_5)(1 - r_4^2 - r_5^2)^{1/2}$$

$$[r_7 \ r_8 \ r_9]^T = [r_1 \ r_2 \ r_3]^T \times [r_4 \ r_5 \ r_6]^T$$

- ▶ Eine der beiden Lösungen führt zu einem positiven f_x in *Schritt 2*



Kamerakalibrierung nach Tsai: Schritt 1 (cont.)

Anmerkungen:

- ▶ Die sich ergebende Matrix R ist möglicherweise nicht orthonormal
- ▶ Es müssen daher noch Orthonormalisierungsschritte durchgeführt werden, die hier nicht weiter erläutert werden



Kamerakalibrierung nach Tsai: Schritt 2

Bestimmung der Parameter t_z, k, f_x und f_y

- ▶ Wenn R, t_x und t_y bekannt sind, können die übrigen Parameter mit folgender Gleichung für den i -ten Kalibrationspunkt bestimmt werden:

$$\begin{bmatrix} -X_i & x_i & -x_i r_i^2 \end{bmatrix} \begin{bmatrix} t_z \\ f_x \\ k f_x \end{bmatrix} = X_i w_i$$

mit

$$x_i \equiv r_1 x_{w,i} + r_2 y_{w,i} + t_x$$

$$w_i \equiv r_7 x_{w,i} + r_8 y_{w,i}$$



Kamerakalibrierung nach Tsai: Schritt 2 (cont.)

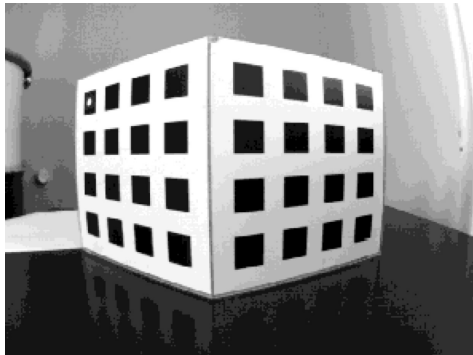
- ▶ Immer wenn mehr als drei Kalibrationspunkte benutzt werden, entsteht ein überbestimmtes Gleichungssystem
- ▶ Die Lösung mit Hilfe des *least-squares*-Verfahrens liefert k , t_z und f_x
- ▶ Mit f_x lassen sich die übrigen Parameter errechnen:

$$f_y = f_x \mu$$

$$k = (k f_x) f_x^{-1}$$



3D-Kalibrierungsaufbau



Typischer 3D-Kalibrierungsaufbau



Schnelle RAC-basierte Kalibrierung

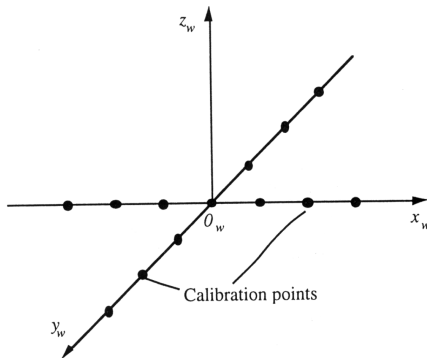
- ▶ Wenn für den erste Schritt des Tsai-Algorithmus nur Kalibrationspunkte auf der x - und y -Achse des Weltkoordinatensystems verwendet werden, vereinfacht sich die RAC-Gleichung
- ▶ Üblicherweise: Die mittlere Reihe und mittlere Spalte einer typischen Kalibrierungsplatte definieren dann die x_w - und y_w -Achse
- ▶ Beim Tsai-Algorithmus wird das *linear-least-squares*-Verfahren in Schritt eins auf fünf, in Schritt zwei auf drei Variablen angewandt
- ▶ Mit obiger Vereinfachung muss das *least-squares*-Verfahren dreimal für zwei Variablen angewandt werden



Schnelle RAC-basierte Kalibrierung (cont.)

- ▶ Da es hierfür eine geschlossene Lösung gibt, reduziert sich die für die Kalibrierung notwendige Rechenzeit signifikant
- ▶ Voraussetzung für die schnelle Variante des Tsai-Algorithmus ist, das μ sowie C_x und C_y *a priori* bekannt sind
- ▶ Wie bei Tsai's Kalibrierung sind zwei Schritte notwendig:
 1. Verwendung von Kalibrationspunkten auf der x_w - und y_w -Achse und einer vereinfachten RAC-Gleichung, um R , t_x und t_y zu bestimmen
 2. Bestimmung der übrigen Parameter mit allen sichtbaren Kalibrationspunkten

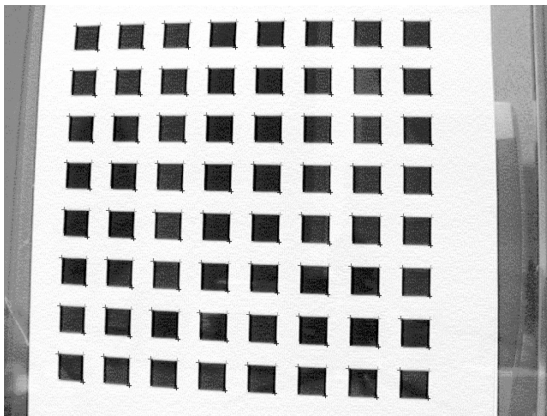
Schnelle RAC-basierte Kalibrierung (cont.)



Kalibrationspunkte für die erste Phase der schnellen RAC-basierten Kalibrierung



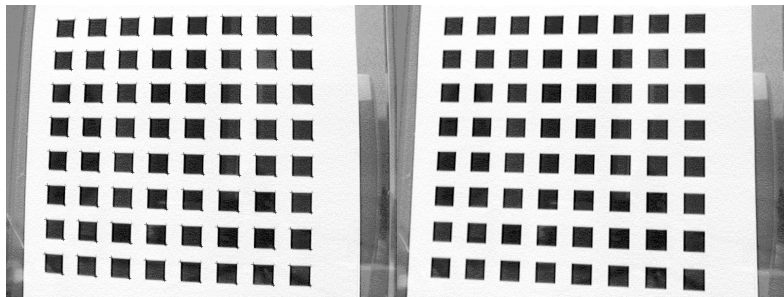
Schnelle RAC-basierte Kalibrierung (cont.)



Typische Kalibrierungsplatte



Schnelle RAC-basierte Kalibrierung (cont.)



Mit einer kalibrierten Kamera lässt sich das Bild entzerren



Implizite Kamerakalibrierung

- ▶ Die *implizite Kamerakalibrierung* berücksichtigt alle Linsenverzeichnungen (Gesamtmodell)
- ▶ Wie bei der Kalibrierung ohne Linsenverzeichnung werden die Parameter nicht explizit bestimmt
- ▶ **Notation:**

(u^i, v^i) Pixelkoordinaten im Bild

(x_i, y_i) Weltkoordinaten von Punkt P auf Ebene π_i



Implizite Kamerakalibrierung (cont.)

- Projektion vom Pixel- auf das Weltkoordinatensystem auf eine Ebene π_1 ergibt sich aus dem Gesamtmodell wie folgt:

$$X_1 = \frac{\sum_{0 \leq i+j \leq 3} a_{ij}^{(1)} u_1^i v_1^j}{\sum_{0 \leq i+j \leq 3} a_{ij}^{(3)} u_1^i v_1^j}$$

$$Y_1 = \frac{\sum_{0 \leq i+j \leq 3} a_{ij}^{(2)} u_1^i v_1^j}{\sum_{0 \leq i+j \leq 3} a_{ij}^{(3)} u_1^i v_1^j}$$

wobei $a_{ij}^{(k)}$ die Transformationskoeffizienten sind



Implizite Kamerakalibrierung (cont.)

- ▶ Mit Hilfe zweier Kalibrationsebenen π_1 und π_2 können die Transformationskoeffizienten zu den beiden Ebenen bestimmt werden
- ▶ Somit ist jeder Bildpunkt auf zwei Ebenen projizierbar
- ▶ Die wirkliche Koordinate liegt auf der Verbindungsgeraden durch die beiden Punkte



Bestimmung einer Zeigerichtung: Motivation

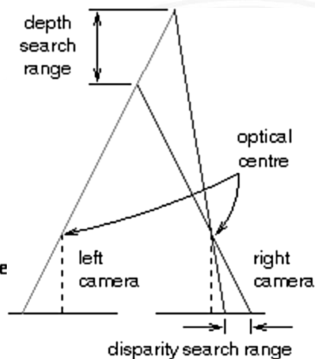
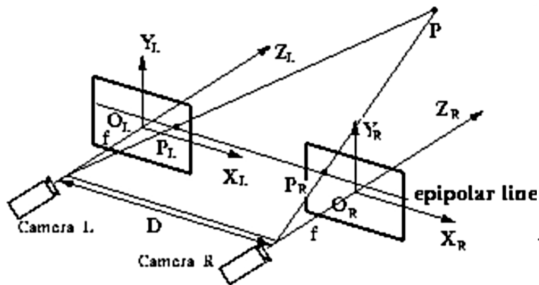
Motivation:

- ▶ Die Erkennung von Handgesten kann im Rahmen der Mensch-Maschine-Kommunikation genutzt werden
- ▶ Anwendungen im Bereich der virtuellen Realität, Multimedia oder Roboter-Instruktion und -Teleoperation

Lösungen:

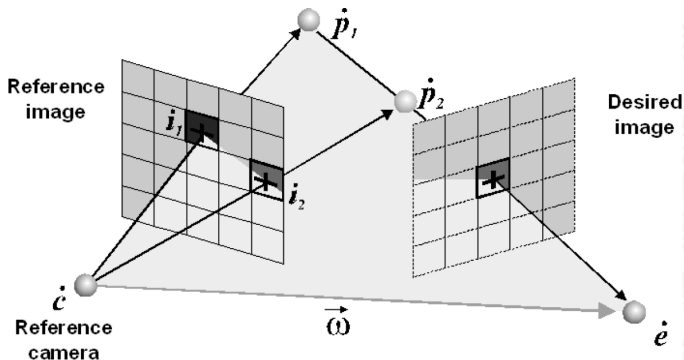
- ▶ Sensoren an der Hand (z.B. Daten-Handschuh)
- ▶ Stereo-Vision (kalibriert)
- ▶ Stereo-Vision (unkalibriert)

Bestimmung einer Zeigerichtung: Stereo-Vision



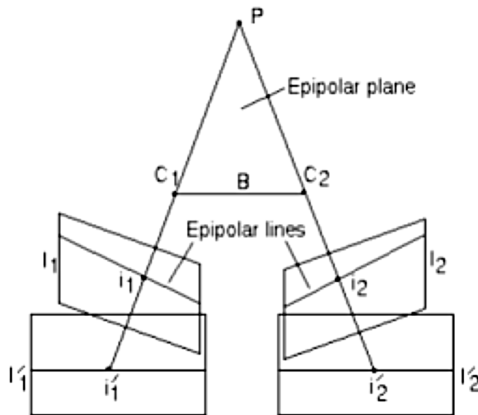
Prinzipieller Stereoaufbau mit parallelen optischen Achsen

Bestimmung einer Zeigerichtung: Epipolarlinien



Der mit einem Punkt aus Bild 1 korrespondierende Punkt kann auf der zugehörigen Epipolarlinie in Bild 2 gefunden werden

Bestimmung einer Zeigerichtung: Epipolarlinien



Bei parallelen optischen Achsen sind die Epipolarlinien horizontale Linien

Unkalibrierte Stereo-Vision

- ▶ Cipolla et. al. (1994) präsentieren eine unkalibriertes Stereo-System zur Erkennung von Zeigeresten
- ▶ **Annahme:** Lochkameramodel mit Blick auf eine Ebene
- ▶ Die Beziehung zwischen Ebenenkoordinatensystem (X, Y) und Bildkoordinatensystem (u, v) lautet:

$$\begin{bmatrix} su \\ sv \\ s \end{bmatrix} = T \begin{bmatrix} X \\ Y \\ 1 \end{bmatrix}$$

wobei $T_{3 \times 3}$ eine homogene Matrix mit $t_{33} = 1$ ist



Unkalibrierte Stereo-Vision (cont.)

- ▶ Um T zu bestimmen müssen mindestens vier Punkte beobachtet werden
- ▶ Man definiert die Grenzen der Arbeitsebene mit $(0, 0)$, $(0, 1)$, $(1, 0)$ und $(1, 1)$
- ▶ Für die beiden Kameras werden die Transformationen T und T' bestimmt

Bestimmung des Zeigepunktes

Notation:

l_w : Längsachse des Zeigers in der Welt

l_i : Projektion von l_w auf die Bildebene

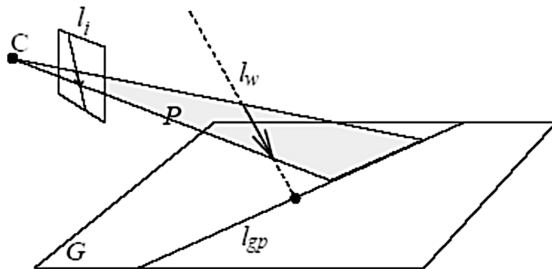
l_{gp} : Projektion von l_w auf Ebene G

Verfahren:

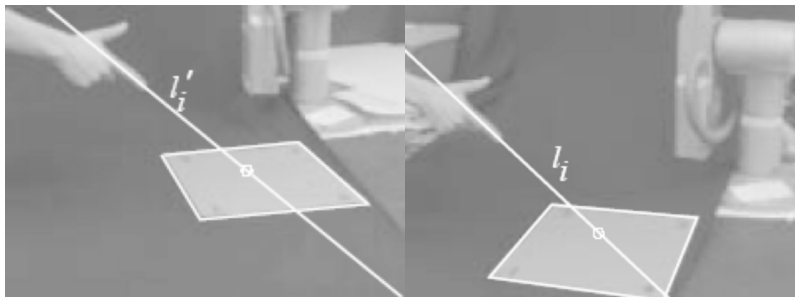
- ▶ Mit dem Bild der zweiten Kamera erhält man eine Projektion l'_{gp} deren Schnittpunkt mit l_{gp} der Zeigepunkt ist
- ▶ l_i ist das Bild von l_{gp} , d.h. $l_i = T l_{gp}$
- ▶ Daraus folgt

$$l_{gp} = T^{-1} l_i \quad \text{und} \quad l'_{gp} = T'^{-1} l'_i$$

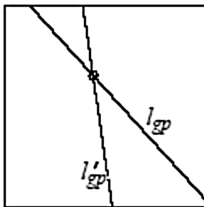
Bestimmung des Zeigepunktes (cont.)



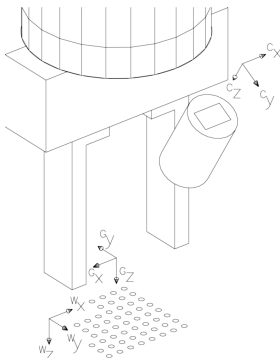
Bestimmung des Zeigepunktes (cont.)



Bestimmung des Zeigepunktes (cont.)



Handkamera-Kalibrierung



Kamera-, Greifer- und Weltkoordinatensystem



Handkamera-Kalibrierung (cont.)

Aufgabe:

Bestimmung der festen räumlichen Relation zwischen Kamera- (C) und Greiferkoordinatensystem (G) repräsentiert durch die homogene Transformation ${}^C H_G$

Idee:

Direkte Bestimmung von ${}^C H_G$ über modellbasierte Lokalisation sichtbarer Greifermerkmale



Handkamera-Kalibrierung (cont.)

Lösung:

- ▶ Positionierung des Greifers auf einem planaren Kalibrationsobjekt mit mehreren Messpunkten
- ▶ Greifer- und Weltkoordinatensystem fallen zusammen (*Ebenenkoinzidenz*)
- ▶ Ebenenkoinzidenz ermöglicht Problemkomposition

$${}^C H_G = {}^C H_W^W H_G$$



Handkamera-Kalibrierung (cont.)

Vorgehensweise:

1. Bestimmung der internen und externen Kameraparameter mittels Kalibrationsobjekt $\Rightarrow {}^C H_W$
2. Bestimmung der Parameter der 2D-Transformation ${}^W H_G$ mittels der sichtbaren Greifermerkmale



Handkamera-Kalibrierung (cont.)

Vorteile der „Selbtsichtbarkeit“:

- ▶ „Selbtsichtbarkeit“ ermöglicht Kalibrierung der Konfiguration ohne Testbewegungen des Manipulators im Gegensatz zu klassischen Verfahren
- ▶ Zwei punktförmige Greifermerkmale für Bestimmung von ${}^C H_G$ ausreichend, Lösung in geschlossener Form
- ▶ Online-Überwachung der relativen Position zwischen Greifer und Objekt
- ▶ Höhere Akkuratheit der Offline-Kalibrierung durch Ausschluß kinematischer Fehler
- ▶ Höhere Robustheit durch mögliche Online-Kalibrierung



Visuell geregeltes Greifen

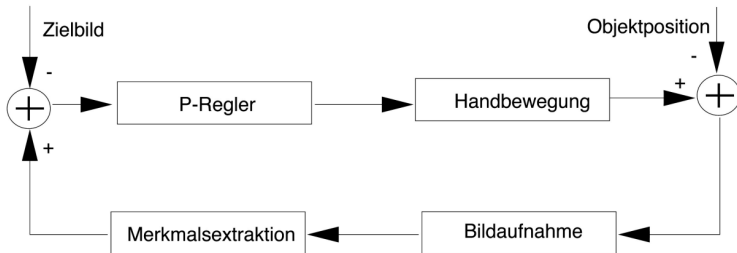
Aufgabe:

2D-Feinpositionierung einer Roboterhand oder eines Greifers bezüglich des zu greifenden Objektes

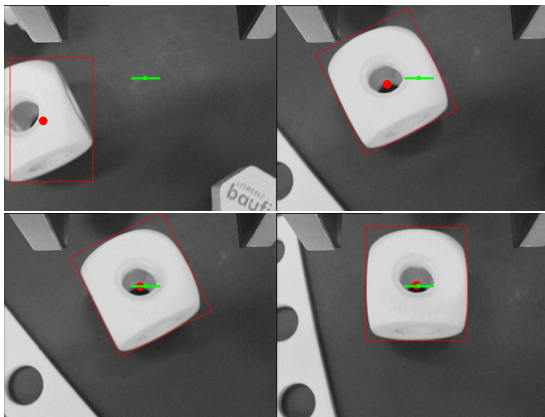
Verfahren:

1. Offline-Vorgabe der Ziellage (z.B. Objektmerkmale aus Stereo-Bildverarbeitung)
2. Online Transformation der aktuellen Differenz zur Zielvorgabe (z.B. mit Handkamera)

Visuell geregeltes Greifen (cont.)



Visuell geregeltes Greifen (cont.)





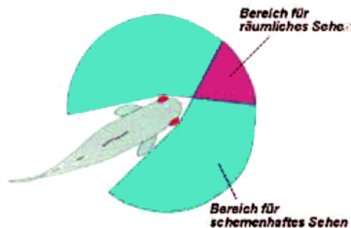
Omnidirektionale Sichtsysteme

- ▶ Generierung von Panoramabildern mit **einer** Kamera
- ▶ 360° Rundumsicht und etwa 30° vertikales Sichtfeld



Einführung

- ▶ **Biologische Inspiration:** Großes Sichtfeld vieler Tiere
- ▶ **Beispiel:** Sichtfeld eines Fisches



- ▶ **Problem:** Technische Umsetzung erfordert spezielle Optiken



Kamerasysteme mit erweitertem Blickwinkel

1. Verwendung mehrerer Kameras gleichzeitig

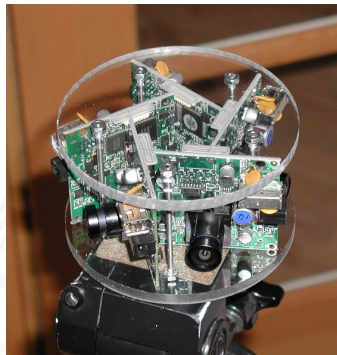
Probleme:

- ▶ unterschiedliche Verzeichnungen
- ▶ unterschiedliche Farben
- ▶ unterschiedliche Helligkeiten



Beispiel: RingCam (Microsoft-Research)

- ▶ Fünf IEEE1394-Kameras
- ▶ Auflösung von 640x480 Pixel
- ▶ Gesamtauflösung 3000x480 Pixel



<http://research.microsoft.com/~rcutler/ringcam/ringcam.htm>



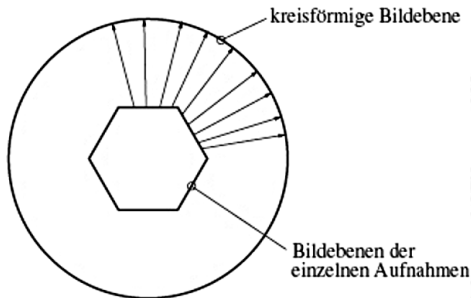
Kamerasysteme mit erweitertem Blickwinkel

2. Eine schwenkbare oder rotierende Kamera

Probleme:

- ▶ Ungenauigkeiten bei Rotation um das optische Zentrum
- ▶ zusätzlicher Energieaufwand für Rotation
- ▶ schwierige Verarbeitung der Bilder bei dynamischen Szenen
- ▶ aufwendige Umrechnungen in eine Panoramadarstellung

Kamerasysteme mit erweitertem Blickwinkel (cont.)





Kamerasysteme mit erweitertem Blickwinkel (cont.)

3. Weitwinkellinsen (Fischaugen-Objektiv)

Probleme:

- ▶ starke Verzeichnung
- ▶ teuer

4. Konvexe Spiegel und darunter angebrachte Kamera

Diese, als **catadioptrische Kamerasysteme** bezeichneten, omnidirektionalen Sichtsysteme werden im folgenden näher betrachtet. . .



Catadioptrische Kamerasysteme

Kombinationen aus Kamera, Linsen und Spiegeln nennt man **catadioptrische Sichtsysteme**:

- ▶ *dioptrics* → Linsen
- ▶ *catoptrics* → Spiegel





Kurze Geschichte omnidirektionaler Sichtsysteme

1970: U.S.-Patent von Rees

- ▶ Kamera und hyperboloider Spiegel

1990: Echtzeit-Verarbeitung der Bilddaten möglich

- ▶ konische, sphärische und hyperboloide Spiegel

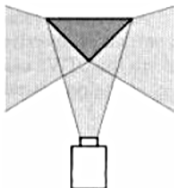
1997: Theoretische Analyse von Nayar und Baker

- ▶ neu: paraboloider Spiegel mit telezentrischer Linse

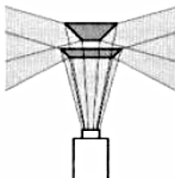
Ausführlichere Geschichte:

<http://www.math.drexel.edu/~ahicks/design/>

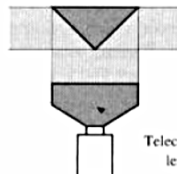
Spiegeldesign



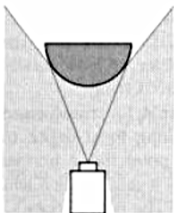
(a) Conic mirror



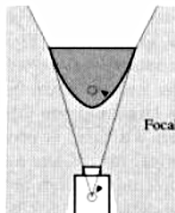
(a2)



(a3)

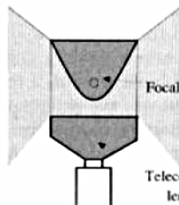
 Telecentric
 lens


(b) Spherical mirror



(c) Hyperboloidal mirror

Focal point



(d) Paraboloid mirror

Focal point

 Telecentric
 lens



Nachteile der verschiedenen Spiegelformen

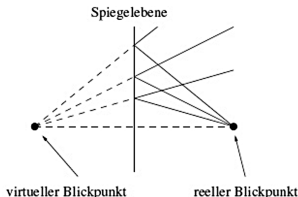
- ▶ Teilweise müssen telezentrische Linsen verwendet werden
 - ▶ Der vertikale Blickwinkel ist unterschiedlich
 - ▶ Die volle Auflösung der Kamera wird nicht genutzt
 - ▶ Nicht jedes omnidirektionale Bild kann perspektivisch korrekt in ein Panoramabild umgerechnet werden
- ⇒ Um ein perspektivisch korrektes Abbild aus einem Spiegelbild zu erzeugen, benötigt man einen **festen Blickpunkt** (engl. **fixed viewpoint**)



Effektiver Blickpunkt

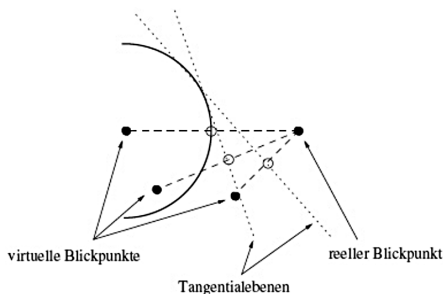
- ▶ Von diesem (virtuellen) Blickpunkt scheint man die Szene zu betrachten
- ▶ In ihm schneiden sich alle Lichtstrahlen die vom Spiegel reflektiert werden
- ▶ Dieser Standort des Betrachters entspricht dem Loch einer Lochkamera
- ▶ Bei einer Kamera mit Linsensystem befindet sich dieser Punkt im hinteren Brennpunkt

Effektiver Blickpunkt (cont.)



- ▶ Bei einem planaren Spiegel liegt der effektive Blickpunkt des Betrachters auf der gegenüberliegenden Spiegelseite
- ▶ Der Betrachter hat den Eindruck als sehe er die Szene vom effektiven Blickpunkt aus
- ▶ Der Abstand vom Spiegel zum Betrachter ist der gleiche wie vom Spiegel zum virtuellen Blickpunkt

Effektiver Blickpunkt (cont.)



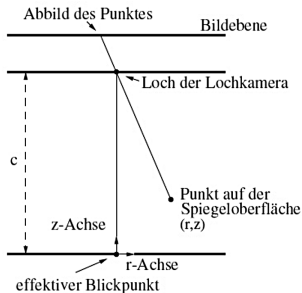
- ▶ Ist die Spiegeloberfläche gewölbt, muss an jeden Punkt der Oberfläche die Tangentialebene angelegt werden
- ▶ Auf der Senkrechten durch den realen Blickpunkt liegt auch der virtuelle Blickpunkt



Effektiver Blickpunkt (cont.)

- ▶ Als Konsequenz ergeben sich mehrere oder unendlich viele virtuelle Blickpunkte → es kann kein perspektivisch korrektes Bild berechnet werden
- ▶ **Hinweis:** Beispiele aus der Robotik zeigen, dass diese Bedingung nicht für jede Anwendung notwendig ist
- ▶ Perspektivisch korrekte Bilder sind allerdings für den Menschen besser zu verarbeiten
- ▶ Durch geschickte Konstruktion der Spiegel lässt sich aber **ein** effektiver Blickpunkt erzeugen

Fixed Viewpoint Constraint



Gesucht: Spiegeloberfläche $z(r)$, so dass ein effektiver Blickpunkt entsteht



Fixed Viewpoint Constraint (cont.)

Nayar und Baker, 1997:

Spiegelformen, die sich aus Lösungen der folgenden quadratischen Differentialgleichung ergeben, haben einen effektiven Blickpunkt

Fixed Viewpoint Constraint

$$r(c - 2z) \left(\frac{dz}{dr}\right)^2 - 2(r^2 + cz - z^2) \frac{dz}{dr} + r(2z - c) = 0$$

Allgemeine Lösung des Fixed Viewpoint Constraints

$$\left(z - \frac{c}{2}\right)^2 - r^2 \left(\frac{k}{2} - 1\right) = \frac{c^2}{4}(k - 2k) \quad (k \geq 2)$$

$$\left(z - \frac{c}{2}\right)^2 + r^2 \left(1 + \frac{c^2}{2k}\right) = \left(\frac{2k + c^2}{4}\right) \quad (k > 0)$$



Spezielle Lösungen des Fixed Viewpoint Constraints

Fünf Lösungen:

1. $k = 2$ und $c > 0$: **Planarer Spiegel**
⇒ keine omnidirektionalen Bilder

$$z = c/2$$

2. $k \geq 2$ und $c = 0$: **Konischer Spiegel**
⇒ Blickpunkt in Kegelspitze

$$z = \sqrt{\frac{k-2}{2}} r^2$$

Spezielle Lösungen des Fixed Viewpoint Constraints (cont.)

3. $k > 0$ und $c = 0$: **Sphärischer Spiegel**
 \Rightarrow effektiver und realer Blickpunkt in Kugelmittle

$$z^2 + r^2 = k/2$$

4. $k > 0$ und $c > 0$: **Ellipsoider Spiegel**
 \Rightarrow effektiver und realer Blickpunkt innerhalb der Ellipse

$$\frac{1}{a_e^2} \left(z - \frac{c}{2} \right)^2 + \frac{1}{b_e^2} r^2 = 1$$

$$a_e = \sqrt{\frac{2k + c^2}{4}} \quad b_e = \sqrt{\frac{k}{2}}$$



Spezielle Lösungen des Fixed Viewpoint Constraints (cont.)

5. $k > 2$ und $c < 0$: **Hyperboloider Spiegel**

$$\frac{1}{a_h^2} \left(z - \frac{c}{2} \right)^2 + \frac{1}{b_h^2} r^2 = 1$$

$$a_h = \frac{c}{2} \sqrt{\frac{k-2}{k}}$$

$$b_h = \frac{c}{2} \sqrt{\frac{2}{k}}$$



Aufbau omnidirektionaler Sichtsysteme

1. **Möglichkeit:** Spiegel wird mit Halterung über der Kamera montiert



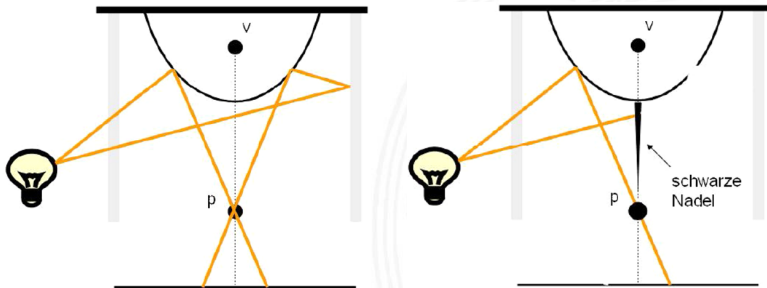
Quelle: <http://cmp.felk.cvut.cz/demos/Omnivis/Photos/fotohyper2.jpg>

Problem: Halterung ist immer im Panoramabild zu sehen

Aufbau omnidirektionaler Sichtsysteme (cont.)

2. **Möglichkeit:** Spiegel wird mit Glaszylinder oder -halbkugel über der Kamera montiert

Problem: Reflexionen an der Innenseite des Zylinders/der Halbkugel





Aufbau omnidirektionaler Sichtsysteme (cont.)

Omnidirektionale Aufnahme:

Links mit Reflexionen, rechts ohne Reflexionen



Hersteller hyperboloidaler Spiegel

- ▶ PANORAMA EYE®: Seiwapro Co., Ltd.,
<http://www.accowle.com/englisch/>



- ▶ „Mirror-Lens“ Single-Shot Panoramaoptik:
 Panorama-Hardware, Hamburg, Deutschland
<http://www.panorama-hardware.de>





Panorama-Berechnung

Zwei Verfahren zur Umrechnung auf ein Panoramabild

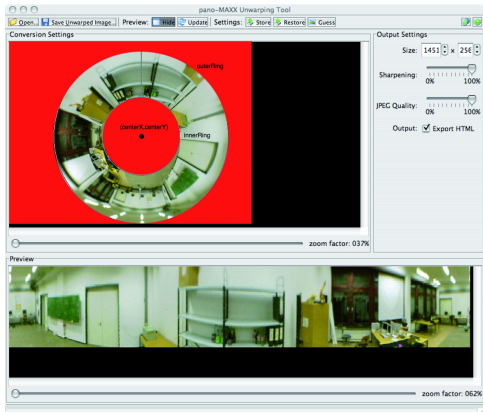
- ▶ **Einfache direkte Umwandlung**

Das Bild aus dem omnidirektionalen Sichtsystem wird gleichmäßig abgetastet

- ▶ **Hyperboloidale Projektion**

Eine Panorama ist eine Projektion auf einen Zylinder um den Spiegel

Einfache Umrechnung



z.B. mit der kostenlosen Software *PUT* von www.panorama-hardware.de



Einfache Umrechnung (cont.)

Für ein Panorama der Größe $width \times height$ wird für jeden Punkt der Punkt im omnidirektionalen Bild ermittelt

```
Image createPanorama (int width, int height, Image omni)
{
    Image panorama = new Image (width, height);
    for (int i=0; i<width; i++) {
        for (int j=0; j<height; j++) {
            panorama.setPixel
                (i, j, getPixelFromOmnidirectional (i, j, omni));
        }
    }
}
```



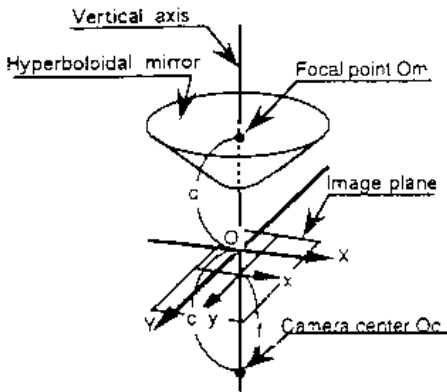
Einfache Umrechnung (cont.)

```
Pixel getPixelFromOmnidirectional (int i, int j, Image omni)
{
    // Polarkoordinaten bestimmen
    double radius = outerRing -
        ((j/height) * (outerRing-innerRing));
    double alpha = - (i/width) * (2*PI);

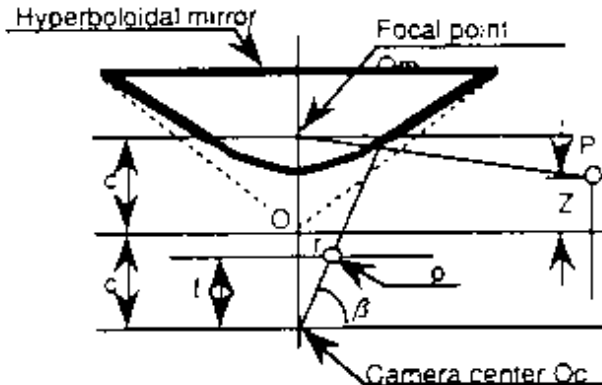
    // Koordinaten im omnidirektionalen Bild
    double x = centerX - radius * sin(alpha);
    double y = centerY + radius * cos(alpha);

    // Interpolierten Punkt zurueckgeben
    return omni.getInterpolatedPixel (x, y);
}
```

Hyperboloidale Projektion



Reduktion auf 2D-Problem





Reduktion auf 2D-Problem (cont.)

Hyperbel-Gleichung:

$$\frac{R^2}{a^2} - \frac{Z^2}{b^2} = -1$$

$$c = \sqrt{a^2 + b^2}$$



Hyperboloidale Projektion

Im Wesentlichen sind zwei Schritte erforderlich
 (nach *Yamazawa et. al., 1993*)

1. Projektion eines Zylinderpunktes auf die Spiegeloberfläche
2. Projektion von der Spiegeloberfläche auf die Bildfläche

$$r = f \cdot \tan(\beta)$$

$$\beta = \tan^{-1} \left(\frac{(b^2 + c^2) \cos(\alpha) - 2bc}{(b^2 - c^2) \cos(\alpha)} \right)$$

$$\alpha = \tan^{-1} \left(\frac{(b^2 + c^2) \cos(\beta) - 2bc}{(b^2 - c^2) \cos(\beta)} \right)$$

$$\alpha = \frac{R}{Z - c}$$



Kamerakalibrierung

Um die hyperboloidale Projektion durchzuführen ist eine Kamerakalibrierung notwendig:

- ▶ Bekannt: a und b der Hyperbel und Spiegedurchmesser
- ▶ Es wird berechnet: extrinsische Parameter (Translation und Rotation zwischen Spiegel und Kalibrierungsgrid) und intrinsische Parameter (Fokus, Verzeichnung und Versatz)

Für die Kalibrierung gibt es ein MATLAB-Toolkit:

http://www.vision.caltech.edu/bouguetj/calib_doc/htmls/links.html



Symmetrie

„Symmetry is what we see at a glance; [...]“

aus: *Pensées - Section 1: Thoughts on mind and on style*
von: Blaise Pascal, 1660



Was ist Symmetrie?

- ▶ Symmetrie ist überall
- ▶ Symmetrie beeinflusst unsere Wahrnehmung:
 - ▶ Symmetrische Gesichter sind schön
 - ▶ Symmetrische Architektur ist schön
 - ▶ Symmetrische Schneeflocken fallen aus den Wolken





Was ist Symmetrie? (cont.)

- ▶ griech.: **symmetros** = regelmäßig, ebenmäßig
- ▶ Symmetrie ist vielfältig, aber es steckt immer
 - ▶ **Regelmäßigkeit** oder
 - ▶ **wiederkehrendes Element**dahinter
- ▶ Symmetrie hat etwas mit dem zu tun, was wir sehen:
 - ▶ mit Formen
 - ▶ mit Mustern
 - ▶ mit dem Aussehen der Welt



Was ist Symmetrie? (cont.)

Beispiel für Symmetrie: **Die Schneeflocke**

- ▶ Man kann jede Schneeflocke um 60° drehen ...
- ▶ und dann sieht sie aus wie vorher!
- ▶ Schneeflocken sind **drehsymmetrisch**
- ▶ Die Drehung um 60° wird als **Symmetrieoperation** bezeichnet





Symmetrie-Operation

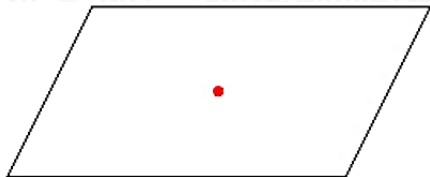
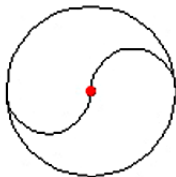
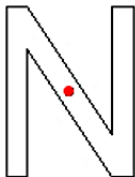
Eine Symmetrieoperation macht etwas mit einem Ding, und danach sieht man nicht, das etwas gemacht wurde

Im Zweidimensionalen sind vor allem die folgenden Symmetrien von Bedeutung

- ▶ Drehsymmetrie
- ▶ Spiegelsymmetrie
- ▶ Translationssymmetrie

Drehsymmetrie

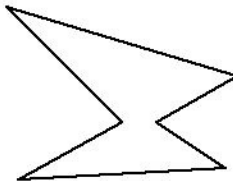
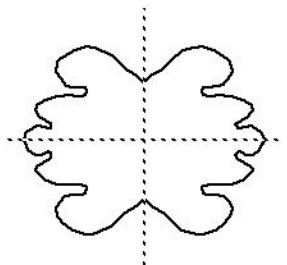
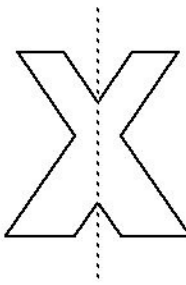
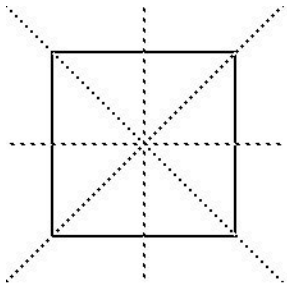
- ▶ auch: Radialsymmetrie oder Radiärsymmetrie
- ▶ Die Drehung eines Objektes um einen gewissen Winkel, um einen bestimmten Punkt (2D) bzw. eine Gerade (3D) bringt das Objekt wieder mit sich selbst zur Deckung
- ▶ Spezialfall: **Punktsymmetrie**
 - ▶ Punktspiegelung
 - ▶ Drehung eines Objektes um 180° um ein Zentrum





Spiegelsymmetrie

- ▶ auch: Bilaterale Symmetrie oder Achsensymmetrie
- ▶ häufigste Form der Symmetrie
- ▶ 2D: Symmetrieachse
- ▶ 3D: Symmetrieebene
- ▶ Zwei Punkte sind identisch, wenn sie auf einer Senkrechten zur Achse/Ebene liegen und den gleichen Abstand zur Achse/Ebene haben





Translationssymmetrie

- ▶ Einfaches Muster: GGGGGGGGGGGGGG
- ▶ Symmetrieoperation: „Alle Gs einen Platz nach links rücken!“
- ▶ Muster bleibt wie oben
- ▶ Teilweise feste Verschiebung notwendig, teilweise beliebig



[M.C. Escher]

Andere Formen der Symmetrie

Sprache: Palindrome wie Otto und Anna

Musik: Johann Sebastian Bach



Contrapunktus: Die Noten scheinen an der Horizontalen gespiegelt

Wahrnehmung von Symmetrie

- ▶ Symmetrie ist wichtig für das menschliche Sehen



[Locher & Nodine (1989)]

- ▶ Symmetrie erzeugt Aufmerksamkeit und unterstützt visuelle Exploration
- ▶ **Besonders bedeutend:**
Horizontale und vertikale Spiegelsymmetrien
 [Palmer & Hemenway (1978)]



Symmetrie-Detektoren

In der Bildverarbeitung gibt es viele Detektoren, die Symmetrien in Bildern ermitteln:

- ▶ Generalized Symmetry Transform
- ▶ Discrete Symmetry Transform
- ▶ Fast Radial Symmetry Transform
- ▶ 1-dimensionaler Symmetrie-Detektor
- ▶ Quantitativer bilateraler Symmetrie-Detektor

Generalized Symmetry Transform

- ▶ Reifeld, Wolfson und Yeshurun (1995)
- ▶ Lokale Operation auf Kantenbild
- ▶ Sei $p_k = (x_k, y_k)$ ein Bildpunkt und $\nabla p_k = \left(\frac{\partial}{\partial x} p_k, \frac{\partial}{\partial y} p_k \right)$ der Gradient der Intensität des Punktes
- ▶ Sei $v_k = (r_k, \theta_k)$ für jeden Punkt mit
 - ▶ $r_k = \log(1 + \|\nabla p_k\|)$ und
 - ▶ $\theta_k = \arctan\left(\frac{\partial}{\partial x} p_k, \frac{\partial}{\partial y} p_k\right)$
- ▶ Sei des Weiteren l eine Linie durch zwei beliebige Punkte p_i und p_j und α_{ij} der Winkel zwischen l und der Horizontalen gegen den Uhrzeigersinn



Generalized Symmetry Transform (cont.)

- ▶ Es wird eine Nachbarschaftsbeziehung definiert:

$$\Gamma(p) = \left\{ (i, j) \mid \frac{p_i + p_j}{2} = p \right\}$$

- ▶ Außerdem eine Gewichtung der Distanz eines Punktepaars zu p :

$$D_\sigma(i, j) = \frac{1}{\sqrt{2\pi\sigma}} e^{-\frac{\|p_i - p_j\|}{2\sigma}}$$

- ▶ Sowie eine Gewichtung der Phasen:

$$P(i, j) = (1 - \cos(\theta_i + \theta_j - 2a_{ij}))(1 - \cos(\theta_i - \theta_j))$$



Generalized Symmetry Transform (cont.)

- ▶ Es wird definiert, dass jedes Punktepaar

$$C(i, j) = D_{\sigma}(i, j) P(ij) r_i r_j$$

zum Symmetriewert eines Punktes p liefert

- ▶ Der Symmetriewert ist dann:

$$M_{\sigma}(p) = \sum_{(i, j) \in \Gamma(p)} C(i, j)$$

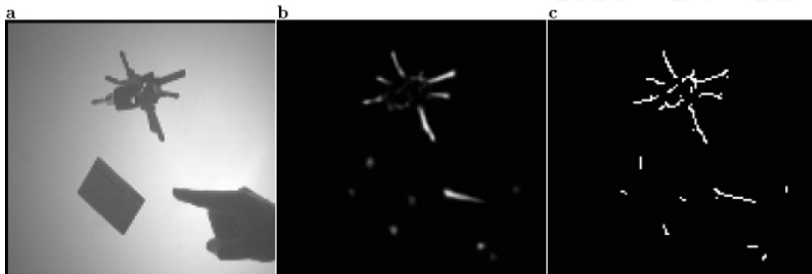
- ▶ Die Symmetrierichtung wird definiert als $\phi(p) = \varphi(i, j)$, so dass $C(i, j)$ maximal für alle $(i, j) \in \Gamma(p)$ ist



Generalized Symmetry Transform (cont.)

Abschließend wird die Symmetrie eines Punktes p definiert als:

$$S_{\sigma}(p) = (M_{\sigma}(p), \phi(p))$$



Discrete Symmetry Transform

- ▶ Di Gesù und Valenti (1995)
- ▶ Zweiteiliger Algorithmus zur Berechnung der Kreissymmetrie (alle Punkte auf einen Kreis identisch):

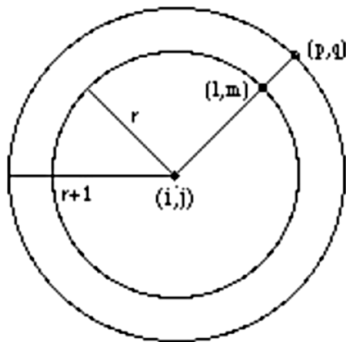
1. Auswahl nicht-uniformer Zonen:

Berechnung eines Filters, so dass

$$E(i, j) = \sum_{(l, m) \in C_r, (p, q) \in C_{r+1}} |g(l, m) - g(p, q)|$$

mit $g(i, j)$ als Grauwert eines Bildpunktes, C_r und C_{r+1} als digitale Kreise und so miteinander verbundenen Punkten, dass $(l - p)^2 + (m - q)^2 = 1$ gilt

Discrete Symmetry Transform (cont.)





Discrete Symmetry Transform (cont.)

2. Berechnung der Symmetriewerte:

Überall wo $E(i, j) > 0$:

$$DST(i, j) = E(i, j) \times T(i, j)$$

mit:

$$T(i, j) = 1 - \sqrt{\frac{\sum_k (T_k(i, j))^2}{n} - \left(\frac{\sum_k (T_k(i, j))}{n}\right)^2}$$

wobei

$$T_k(i, j) = \sum_{(l, m) \in C_r} \left| (i - l) \sin\left(\frac{k\pi}{n}\right) - (j - m) \cos\left(\frac{k\pi}{n}\right) \right| \times g(l, m)$$

Anwendung der Discrete Symmetry Transform

Extraktion von kreisförmigen Merkmalen aus Bildern:

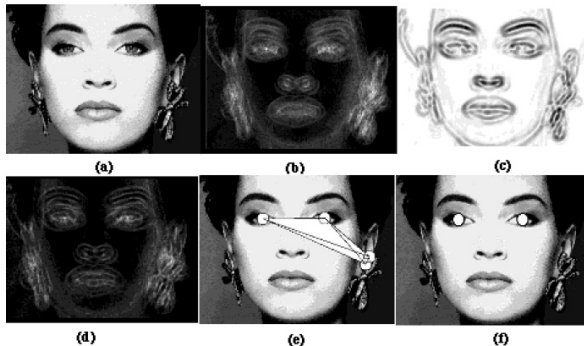
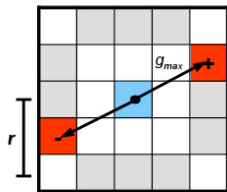


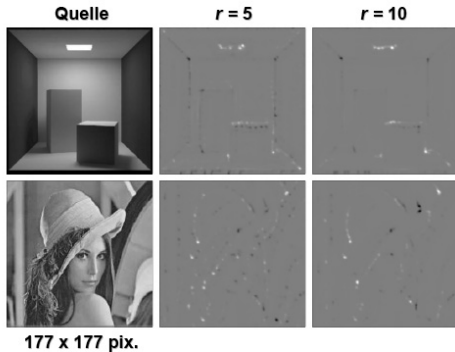
Fig. 8. a) Input image F ; b) the image $E(F)$; c) the image $T(F)$; d) the image $DST(F)$; e) candidate interest points; f) final result.

Fast Radial Symmetry Transform

- Loy und Zelinsky (2003)

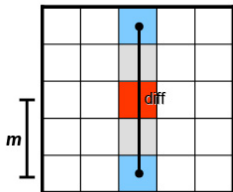


- Richtung des maximalen Gradienten



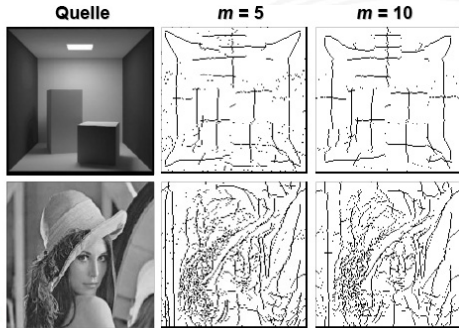
1-dimensionaler Symmetrie-Detektor

- ▶ Hübner und Zhang (2003)



- ▶ Normalisierter MSE

$$S^v(p_{x,y}, m) = 1 - \frac{1}{C \cdot m} \sum_{i=1}^m \sigma(i, m) \cdot g^v(p_{x-i,y}, p_{x+i,y})^2$$



177 x 177 pix.



Diskussion der bis hierher vorgestellten Ansätze

Symmetrie ist ein regionales Merkmal

- ▶ Jedes Resultat stark abhängig von der Wahl der Operatorgröße
- ▶ Symmetriewerte nur relativ ausgedrückt
- ▶ Mit der Größe der betrachteten Region wächst die Aussagekraft, aber auch der Rechenaufwand
- ▶ Große Operatoren reichen oft über den Bildrand hinaus
- ▶ Große Operatoren anfälliger für Beleuchtungsschwankungen, Verdeckungen und perspektivische Verzerrung
- ▶ Hierarchien unterschiedlicher Operatorgrößen zu nutzen, ist zu aufwändig
- ▶ Ohne Vorwissen keine optimale Operatorgröße möglich

Diskussion der bis hierher vorgestellten Ansätze (cont.)

- ▶ Bisherige Ansätze alle **qualitativ**
- ▶ Wünschenswert wären **quantitative** Aussagen

Qualitative Symmetrie

„Symmetrie ist [**hoch**] in einer Umgebung von 10 Pixeln“

- benötigt a-priori Operatorgröße
- gibt einen relativen, für gewöhnlich normalisierten Grad der Symmetrie in der betrachteten Umgebung wieder

Beispiele: Reisfeld operator, DiGesù operator, Loy operator, 1D operator, ...

Quantitative Symmetrie

„Symmetrie ist hoch in einer Umgebung von [**10 Pixeln**]“

- benötigt ein Abbruchkriterium
- gibt eine absolute Größe zurück, die die symmetrische Umgebung beschreibt

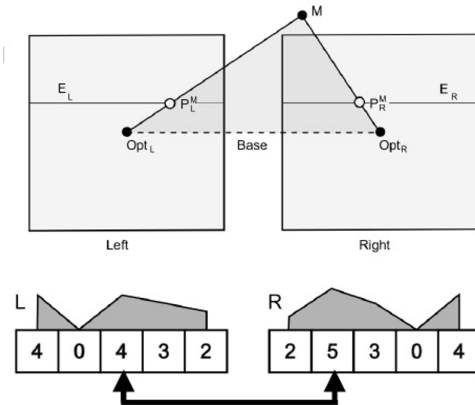
Probleme: Ungenauigkeit, Fehlermaß
 Ansatz: **Dynamische Programmierung**



Dynamisches Programmieren

- ▶ Effiziente Methode zur Lösung des Stereomatchingproblems
- ▶ Distanzabschätzung durch Beobachtung der Verschiebung korrespondierender Bildmerkmale
- ▶ Vereinfachung durch Nutzung der Epipolarlinien
- ▶ Lösung im 2D-Suchraum

Dynamisches Programmieren (cont.)



Dynamisches Programmieren (cont.)



Links



Rechts



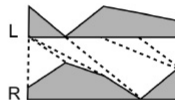
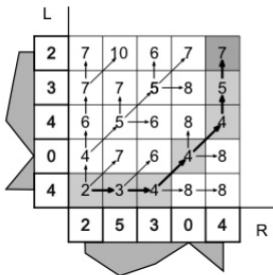
[Cox et al. (1996)]



[Bobick and Intille (1999)]

Quantitative bilaterale Symmetrie durch Dynamische Programmierung

Berechnung des gesamten Suchraums:



DPS Algorithmus

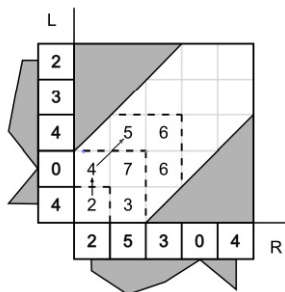
Iterative Berechnung mit Schwellwert:

▶ Parameter:

- Bandmaske Weite $w_B = 2$
- Absoluter Schwellwert $T = 5$
- Gewichte $W_i = 1$

▶ Ergebnis:

- Iterationsstop bei $l = 2$
- Mapping index $(1 / 2) \rightarrow S = 3$



DPS Algorithmus (cont.)

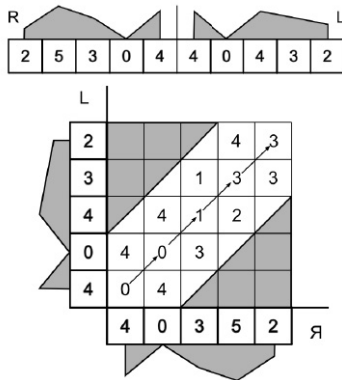
Iterative Berechnung mit Schwellwert:

▶ Parameter:

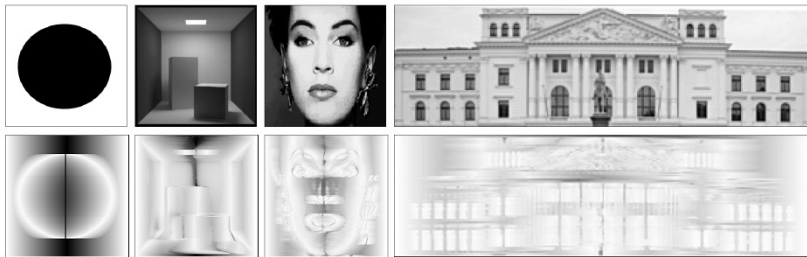
- Bandmaske Weite $w_B = 2$
- Absoluter Schwellwert $T = 5$
- Gewichte $W_i = 1$

▶ Ergebnis:

- Iterations stop bei $l = 4$ (max)
- Mapping index $(4 / 4) \rightarrow S = 8$

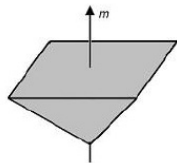
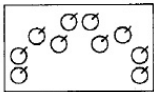
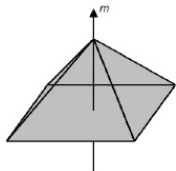


DPS Algorithmus - Beispiele



Symmetrie-Hierarchien

In **qualitativen** Ansätzen werden Hierarchien auf Basis unterschiedlicher Operatorgrößen betrachtet (**multiskalar**)

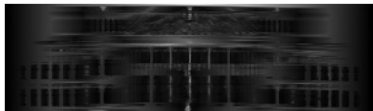


[Zabrodsky et al. (1992)]

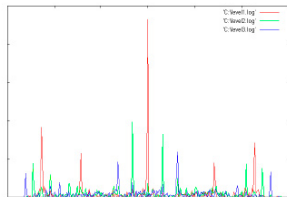
Multiskalare Hierarchie: $\{S(I, m_1), \dots, S(I, m_n)\} \Rightarrow H_{ms}(I)$

Symmetrie-Hierarchien (cont.)

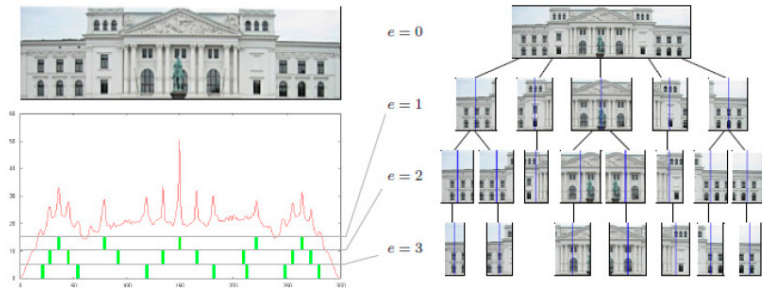
Bei quantitativen Operatoren können Hierarchien als Ordnung der Symmetrien selbst gesehen werden



- $S = S_L + S_R$
- Rekursive top-down Hierarchisierung $S(I) \Rightarrow H_{so}(I)$



Symmetrie-Hierarchien (cont.)





Symmetrie-Signaturen

Vierstufiger Signatur-Algorithmus

1. Erzeugen eines Panoramas
2. DPS Algorithmus
3. Non-Maxima-Suppression
4. Aufsummieren der Spalten zu Signatur-Vektor



Symmetrie-Signaturen (cont.)



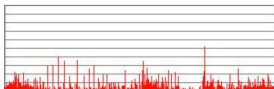
(a) Panoramic image.



(b) Vertical symmetry image.



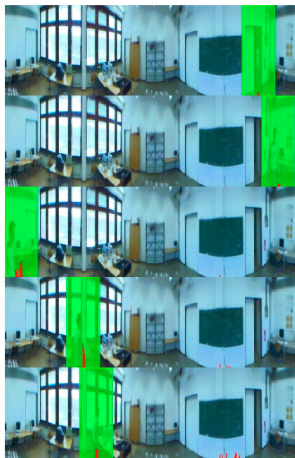
(c) Vertical symmetry image after non-maxima suppression.



(d) Visualization of the symmetry image signature.



Tracking über Symmetrie-Signatur-Fehlern





[CHH94] Roberto Cipolla, Paul A. Hadfield, Nicholas J. Hollinghurst:

Uncalibrated stereo vision with pointing for a man-machine interface.

In: *In Proc. IAPR Workshop on Machine Vision Applications (MVA94)*

(1994), Dezember, S. 163–166. –
 Kawasaki. –

URL mi.eng.cam.ac.uk/~cipolla/publicats.html

[DESY00] *Was ist Symmetrie?*, 2000. –

URL

www.desy.de/expo2000/deutsch/dhtmlbrowser/webthemen/08_symmetrie/symmetrie_druck.htm



- [GD01] C. Geyer, K. Daniilidis:
Catadioptric projective geometry.
In: *International Journal of Computer Vision*
43 (2001), S. 223–243. –
URL [citeseer.ist.psu.edu/article/
geyer02catadioptric.html](http://citeseer.ist.psu.edu/article/geyer02catadioptric.html)
- [GV95] V. Di Gesù, C. Valenti:
The Discrete Symmetry Transform in Computer Vision.
DMA Università di Palermo, 1995, Forschungsbericht



- [Hue01] **Kai Huebner:**
Methods for Range Estimation and Situation Recognition using an Omnidirectional Vision System for Mobile Robots - Symmetry as a Natural Feature,
 November 2001. –
 URL www.informatik.uni-bremen.de/~khuebner/diploma/pdf/index_d.html
- [HWZ05] **K. Huebner, D. Westhoff, J. Zhang:**
 Optimized Quantitative Bilateral Symmetry Detection.
 In: *International Journal of Information Acquisition (IJIA)*
 2 (2005), September, Nr. 3, S. 241–249



- [LN89] P. Locher, C. Nodine:
The perceptual value of symmetry.
In: *Comput. Math. Applic.*
17 (1989), S. 475–484
- [LZ03] G. Loy, A. Zelinsky:
Fast Radial Symmetry for Detecting Points of Interest.
In: *IEEE Transactions on Pattern Analysis and Machine Intelligence* Bd. 25.
2003, S. 959–973



[McK93] Kap. 3 In: Phillip John McKerrow:

Introduction to Robotics.

korrigierte.

Addison-Wesley, 1993

(Electronic Systems Engineering Series), S. 131–174

[Nay97] Shree K. Nayar:

Catadioptric Omnidirectional Camera.

In: *1997 IEEE Computer Society Conference on
Computer Vision and Pattern Recognition (CVPR'97).*

1997, S. 482



- [RWY95] **D. Reifeld, H. Wolfson, Y. Yeshurun:**
Context Free Attentional Operators: the Generalized
Symmetry Transform.
In: *International Journal of Computer Vision*
14 (1995), S. 119–130
- [Tsa86] **Roger Y. Tsai:**
An Efficient and Accurate Camera Calibration
Technique for 3D Machine Vision.
In: *Proceedings of IEEE Conference on Computer Vision
and Pattern Recognition.*
Miami Beach, Florida, USA, 1986, S. 364–374



- [Tsa87] Roger Y. Tsai:
A versatile camera calibration technique for 3D machine vision metrology using off-the-shelf TV cameras and lenses.
In: *IEEE Journal of Robotics and Automation*
RA-3 (1987), August, Nr. 4, S. 323–344
- [WCH92] Juyang Weng, Paul Cohen, Marc Herniou:
Camera Calibration with Distortion Models and Accuracy Evaluation.
In: *IEEE Transactions on Pattern Analysis and Machine Intelligence*
14 (1992), Nr. 10, S. 965–980. –
ISSN 0162–8828.
URL dx.doi.org/10.1109/34.159901



- [YYY93] K. Yamazawa, Y. Yagi, M. Yachida:
Omnidirectional imaging with hyperboloidal projection.
In: *Proceedings of the 1993 IEEE/RSJ International
Conference on Intelligent Robots and Systems '93,
IROS '93*. Bd. 2.
Yokohama, Japan, 26-30 Juli 1993, S. 1029–1034
- [YYY95] K. Yamazawa, Y. Yagi, M. Yachida:
Obstacle detection with omnidirectional image sensor
HyperOmniVision.
In: *Proceedings of the 1995 IEEE International
Conference on Robotics and Automation* Bd. 1.
Nagoya, Japan, 21-27 May 1995, S. 1062–1067



[ZR96] Kap. 2.II.A, 2.III, 2.IV, 3.I und 3.II In: Hanqi Zhuang,
Zvi S. Roth:

Camera-aided robot calibration.

CRC Press Inc, 1996, S. 11–14, 20–27 und 63–68

